

رهیافتی نوین برآورده میزان خرج لازم در فرایند شکل دادن انفجاری ورق

داریوش جواب ور

تهران - دانشگاه هوایی شهید ستاری - دانشکده مهندسی هواپما

پست الکترونیکی: Jawabvar@yahoo.com

چکیده

در این رهیافت نخست مقدار ایمپالس دریافتی یک ورق فلزی مدور ناشی از انفجار زیرآب یک خرج انفجاری متمرکز و مستقر در فاصله ای معین از سطح ورق برآورد می‌گردد. سپس انرژی کرنش ناشی از تغییرشکل ورق در یک قالب مخروطی محاسبه می‌گردد. در مرحله بعد با در نظر گرفتن بازده مکانیکی فرایند مقدار انرژی لازم تعیین می‌گردد. بر اساس نتایج این مرحله، سرعت و ایمپالس مورد نیاز تعیین می‌گردد. سرانجام از تساوی ایمپالس حاصله با ایمپالس دریافتی ورق جرم خرج انفجاری لازم جهت تکمیل عملیات شکل دهنده انفجاری مخروط بدست می‌آید. تعدادی آزمایش نیز طراحی و اجرا شد و نتایج تجربی مستخرج از آنها همراه نتایج تجربی محققین دیگر با نتایج نظری مکتسپ از این تحقیق مورد مقایسه قرار گرفتند.

واژه‌های کلیدی: شکل دادن با نرخ کرنش بالا - شکل دادن انفجاری - شکل دادن سریع

مقدمه

گردیده، ورق بنحو مقتضی روی قالب جاگیر شده و کل مجموعه در مخزن آب استقرار می‌یابد آنگاه انفجار خرج سبب رانده شدن ورق به درون حفره قالب می‌شود.

فرایند شکل دهنده انفجاری در زمینه تولید ارزان قطعات پیچیده و بزرگ در زمان کوتاه و البته در حجم پایین تولید، کاربردهای متتنوع دارد.

فرایند شکل دهنده انفجاری که سرآغاز آن به سال ۱۸۸۸ میلادی بر می‌گردد، عبارتست از شکل دادن به قطعات با استفاده از انرژی مواد منفجره که به روشهای مختلفی انجام می‌شود. در عملیات موسوم به استقرار خرج در فاصله، ماده منفجره در فاصله معینی از قطعه تعییه

تحقیقات مشابه در مورد آب است ولی بدلیل راندمان پایین هوا نسبت به آب، بندرت از هوا در شکل دهی انفجاری استفاده می شود[۱۱]. بدلیل استفاده زیاد از آب به عنوان محیط انتقال، مهم است تا در مورد مکانیک انتقال انرژی ناشی از انفجار زیر آب شناخت حاصل گردد. هنگامیکه یک ماده منفجره شیمیایی در زیر آب منفجر می گردد، تبدیل به یک ترکیب گازی با فشار زیاد و جرم معادل مقدار اولیه آن می گردد. ناشی از حباب گاز یک شوک اولیه در آب منتشر می گردد، تخمین زده شده است که در فاصله کوتاهی از منبع انفجار، این شوک اولیه در حدود ۵۰ درصد کل انرژی خرج را حمل می نماید. انبساط حباب گازی تازمانی که فشار داخلی آن به مقدار فشار آب محیط بر آن تنزل یابد ادامه می یابد. سپس این حباب شروع به انقباض تحت فشار آب محیط بر آن می نماید تا به حداقل اندازه خود برسد، در این حالت فشار آن بیشتر از فشار آب بوده و مجدداً شروع به انبساط می نماید. با آغاز انبساط حباب موج شوک دیگری در آب منتشر می شود. بدین ترتیب حباب بطور پیوسته منبسط و منقبض شده و همزمان در آب حرکت می کند که این حرکت بدلیل خاصیت شناوری آن یا به سمت سطح آب است یا بسمت سطوح مجاور. حداکثر شعاعی که حباب گاز به آن دست می یابد با عمق استغراق حباب کاهش می یابد. پریود نوسانات حباب نیز با اندازه خرج افزایش و با عمق استغراق آن کاهش می یابد. موج های ثانویه ناشی از انبساط متعاقب انقباض حباب تا حداقل شعاع، تنها کسر کوچکی از کل انرژی را با خود حمل می کنند و عملاً در عملیات شکل دهی فلزات نقشی ندارند. موج شوک اولیه و سیلان بلادرنگ آب در بی آن کل کار را در عملیات شکل دهی انجام می دهد.

موج شوک اولیه موجود در سیال در تماس با ورق یک سرعت اولیه به ورق می دهد. متعاقباً حرکت ورق باعث ارسال یک موج بازگشتی کاهنده در آب می گردد که سبب کاهش فشار در آب مجاور ورق می گردد تا اینکه پدیده کاویتاسیون بوقوع می پیوندد. در این حالت قطعه کار بطور ناگهانی توسط حجمی از بخار آب جدا می شود و حرکت آن بوسیله مهار مرزها آهسته می گردد.

فرمول های تجربی ناشی از اندازه گیری های انفجار زیرآب به دست آمده اند. با این فرمول ها می توان حداکثر فشار، ایمپالس و انرژی بر واحد سطح موج شوک اولیه را تخمین زد. هرچند که فرمول های مربوط به حداکثر فشار و ایمپالس بر اساس اندازه گیری های میدانی آزاد بوده و در صورت استفاده از آنها برای یک قطعه کار تغییر شکل پذیر باشستی

این ویژگیهای منحصر بفرد می تواند سبب استفاده از این روش در صنایع گوناگون شکل دهی ورق و پوسته بالاخص در صنایع هوا فضا و نظامی کشور گردد، جائیکه از قابلیت و پیشینه زیاد کار با مواد منفجره برخوردار می باشد.

این روش در مورد اشکال خیلی پیچیده و همچنین فلزات با خواص ویژه نظیر فولاد زنگ نزن کار سخت پذیر دارای توجیه اقتصادی بوده و همچنین در مورد آلیاژهایی که روشهای سنتی شکل دهی آنها با مشکلاتی همراه است دارای کاربرد می باشد. از مزایای دیگر این روش سرمایه گذاری اولیه اندک جهت تجهیزات مورد نیاز می باشد. نمونه هایی از کاربرد این روش در ساخت قطعات صنایع هوا فضا بقرار ذیل است[۱]:

- پوسته های مخروطی شکل نظیر آسترها (Liner) بمبکهای خرج گود(Shaped Charge Bomblet) سرجنگیهای خوش ای و سرجنگیهای خرج گود، همچنین نازلهای همگرا و واگرا، پوسته موشک و پوسته موتور جت
- پوسته های عدسی شکل و گنبدی نظیر صفحات بشقابی منعکس کننده رادار تا قطر ۱۲ متر
- پوسته های دوکی شکل(Ogive) نظیر پوسته سرجنگی، راکت و پوسته های با پروفیل آبرودینامیکی
- پوسته های لوله ای شکل تا قطر $1/4$ متر و تا طول ۹/۱ متر

با افزایش اندازه این قطعات، تولید آنها با استفاده از روشهای متداول نظری فورج به علت بالا رفتن تناثر و کورس آن مشکلات فراوانی ایجاد می نماید. به عنوان نمونه این مشکلات باعث می شوند که سرجنگیهای کالبیر بالا را به جای فلز از فایبر گلاس بسازند. که این امر سبب کاهش قدرت انفجار سرجنگی می شود. فرآیند شکل دهی انفجاری تنها روش مناسب و بهینه جهت غلبه بر این مشکل است.

تحقیقات در زمینه شکل دهی انفجاری همچنان ادامه دارد بگونه ای که در کنفرانس های جهانی بررسی رفتار فیزیکی و مکانیکی مواد تحت بارگذاری دینامیکی، این روش همواره یکی از مقوله های مطرح می باشد[۲]. همچنین برخی از مراجع عمدۀ داخلی در این زمینه عبارتند از مراجع ۳-۱۰.

دینامیک انفجار زیر آب

هرچند تحقیقات انجام شده در مورد انتقال امواج شوک در هوا بیشتر از

خارج از یک موج شوک انبساطی توسعه می‌یابد. هنگام تصادم موج شوک ناشی از یک خروج مرکزی با یک ورق، تنها مؤلفه‌های عمود بر ورق ایمپالس در اعطای سرعت عمودی به ورق مؤثر می‌باشند.^[11] ایمپالس آزاد (بدون برخورد با چیزی) در یک موج شوک حاصل از انفجار در زیر آب و عمود بر موج شوک از رابطه زیر بدست می‌آید:

$$I = \frac{BM^{\frac{F+1}{3}}}{R^F} \quad (1)$$

I : ایمپالس بر واحد سطح بر حسب پوند ثانیه بر اینچ مربع

M : جرم خروج بر حسب پوند

R : فاصله از خروج بر حسب اینچ

F و B : ثوابت تجربی مربوط به ماده منفجره

فرض شود مطابق شکل ۱ خروج مرکزی در فاصله L از مرکز ورق مدوری که بر روی قالبی با قطر دهانه D قرار دارد مسقر می‌باشد. محتوى ایمپالس المان AB موج شوک به المان AC ورق منتقل و متأثر از آن ورق یک سرعت عمودی دریافت می‌کند. کل ایمپالس المان AB موج شوک که با امتداد عمودی زاویه ϕ را می‌سازد برابر

$$\text{است با } \frac{BM^{\frac{F+1}{3}}}{R^F} \overline{AB} \quad \text{مؤلفه ایمپالس عمود بر ورق این ایمپالس برابر}$$

$$\text{است با } \frac{BM^{\frac{F+1}{3}}}{R^F} \overline{AB} \cos \phi \quad \text{از:}$$

شدت ایمپالس(ایمپالس بر واحد سطح) عمود بر المان \overline{AC} عبارتست از:

$$\frac{BM^{\frac{F+1}{3}}}{R^F} \left(\frac{\overline{AB}}{\overline{AC}} \right) \cos \phi = \frac{BM^{\frac{F+1}{3}}}{R^F} \cos^2 \phi \quad (2)$$

در نتیجه ایمپالس عمود بر یک المان حلقوی به شعاع r و پهنهای dr عبارت خواهد بود از:

اندرکنش موج شوک و قطعه کار را نیز در نظر گرفت. از سوی دیگر فرمول‌های تجربی مربوط به چگالی انرژی با استفاده از مشاهدات مربوط به اثر موج شوک بر سنجه‌های دیافراگم بدست آمده اند که در نتیجه بطور ضمنی مشتمل بر آثار متقابل دیافراگم تغییرشکل پذیر با موج شوک دریافتی و پدیده بارگذاری مجدد می‌باشد. در هر صورت پدیده پیچیده انتقال انرژی ناشی از انفجار زیرآب هنوز بطور کامل از نظر ریاضی حل نشده است. روش‌های متعددی جهت بررسی این پدیده موجود است که از جمله کاربردی ترین آنها در شکل دهی انفجاری سه روش ذیل می‌باشند:

اولین روش بر اساس انرژی ویژه ماده منفجره یعنی انرژی بر واحد جرم ماده منفجره و شکل قطعه کار نسبت به خروج استوار می‌باشد. اثر محیط انتقال انرژی بوسیله یک ضریب تجربی بیان می‌شود. اغلب جداول مربوط به خواص مواد منفجره مشتمل بر انرژی ویژه ماده منفجره یا شدت آن نسبت به TNT که دارای انرژی ویژه شناخته شده ای است می‌باشند. روش دوم بر اساس فرمول‌های تجربی چگالی مستخرج از اندازه‌گیری‌های انفجار زیرآب توسط گیج‌های دیافراگمی استوار می‌باشد که مشتمل بر آثار بارگذاری مجدد می‌باشد. چگالی انرژی بدست آمده بوسیله این فرمولها روی کل سطح قطعه کار انتگرال گیری می‌شود. استفاده از این روش محدود به مواد منفجره ای است که ثوابت مطلوب انرژی آنها در دست باشند. اغلب جداول خواص مواد منفجره متأسفانه فاقد این ثوابت می‌باشند.

هر دو روش فوق الذکر تقریب‌های کران بالای انرژی ماده منفجره منتقل شده به قطعه کار ناشی از موج شوک اولیه و پدیده بارگذاری مجدد است. روش سوم، تقریب‌های کران پائین بر اساس فرمول‌های تجربی فشار و ایمپالس می‌باشد. روش سوم فقط در غیاب پدیده بارگذاری مجدد معتبر می‌باشد. در این تحقیق، روش اخیر جهت برآورد ایمپالس منتقله به یک ورق مدور تخت ناشی از انفجار زیرآب یک خروج مرکزی که در فاصله معینی از سطح ورق مستقر شده است بکار گرفته می‌شود سپس با توجه به آن و به مدد رهیافتی نوین میزان خروج انفجاری لازم محاسبه گردد.

ایمپالس منتقله به ورق مدور تخت توسط یک

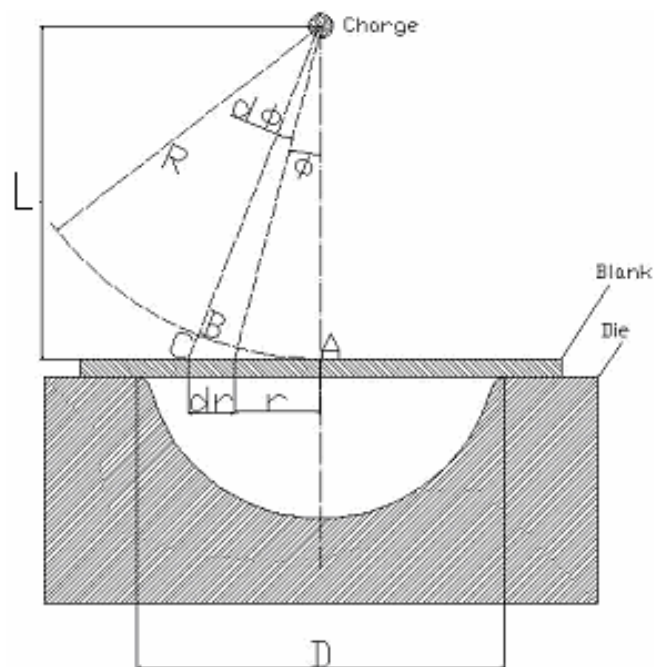
خروج مرکز

این روش بر اساس روابط تجربی مستخرج از انفجار زیرآب استوار است و تنها برای محیط انتقال آب معتبر است. ایمپالس بصورت شعاعی و بسمت

$$\cos^2 \phi = \frac{L^2}{r^2 + L^2} \quad (6)$$

$$I_n = 2\pi BM \frac{F+1}{3} L^2 \int_0^{D/2} \frac{r}{(r^2 + L^2)^{F/2+1}} dr \quad (7)$$

$$I_n = 2\pi BM \frac{F+1}{3} D^{2-F} \left(\frac{L}{D}\right)^2 \frac{1}{F} \left[\frac{1}{(L/D)^F} - \frac{1}{((L/D)^2 + 1/4)^{F/2}} \right] \quad (8)$$



انرژی کرنشی

ورود به مبحث پیش بینی مقدار خروج مورد نیاز برای عملیات شکل دهنی انفجاری مشخص مستلزم محاسبه انرژی کرنش تغییرشکل قطعه می باشد. روابط فیمابین تنش و کرنش از اجزاء مهم در محاسبه انرژی کرنش محاسبه می گردند [1].

نحو انرژی کرنش بر واحد حجم du که توسط نمو آندک کرنش ایجاد می شود عبارتست از:

$$du = \sigma_1 d\varepsilon_1 + \sigma_2 d\varepsilon_2 + \sigma_3 d\varepsilon_3 \quad (9)$$

که در معادله فوق σ_1 ، σ_2 و σ_3 تنش های اصلی و ε_1 ، ε_2 و ε_3 کرنش های اصلی می باشند. با استفاده از نظریه سیلان پلاستیکی سنت ونان که بر فرض ثبات حجم در حین تغییرشکل استوار است، معادله فوق به معادله زیر بر حسب تنش مؤثر (σ_{eff}) و کرنش مؤثر (ε_{eff}) تبدیل می گردد:

$$du = \sigma_{eff} d\varepsilon_{eff} \quad (10)$$

شکل ۱- انتقال ایمپالس از یک خروج متمرکز به یک ورق تخت

$$dI_n = \frac{BM}{R^F} \frac{F+1}{3} \cos^2 \phi 2\pi r dr \quad (3)$$

کل ایمپالس عمود بر ورق (I_n) از انتگرال گیری معادله فوق و بصورت ذیل بدست می آید:

$$I_n = 2\pi BM \frac{F+1}{3} \int_0^{D/2} \frac{r}{R^F} \cos^2 \phi dr \quad (4)$$

اکنون با توجه به روابط هندسی:

$$R = (r^2 + L^2)^{1/2} \quad (5)$$

که در آن:

زمینه متعلق به تراویس و جانسون [۱۳] می‌باشد. ارائه یک مدل تحلیلی سبب آشکارسازی نحوه ارتباط و تأثیر پارامترهای مربوط به ماده منفجره (فاصله استقرار و مقدار ماده منفجره)، متغیرهای هندسی مخروط (شعاع و ضخامت ورق و زاویه رأس مخروط) و جنس ورق در فرآیند می‌گردد. این امر به مهندس ساخت و تولید اجازه می‌دهد تا فرآیند تولید مخروط به روش انفجاری را بصورت مناسبی طراحی و تدوین نماید.

جهت نیل به یک مدل ساده تحلیلی در این تحقیق فرض می‌شود که ضخامت ورق (t) در جریان تغییرشکل ثابت باقی می‌ماند. در اینصورت، اگر چنانکه در شکل ۲ دیده می‌شود، ناحیه ای به شعاع r از ورق به ناحیه ای از مخروط با شعاع قاعده x و طول یال l تبدیل شود آنگاه اصل بقاء حجم تبدیل به برابری سطوح این دو ناحیه می‌گردد، یعنی:

$$\pi r^2 = \pi x l \quad (15)$$

با توجه به ملاحظات هندسی:

$$l = \frac{x}{\sin \alpha} \quad (16)$$

از ترکیب دو معادله فوق داریم:

$$\frac{x^2}{r^2} = \sin \alpha \quad (17)$$

کرنش محیطی برابر است با:

$$\varepsilon_\theta = \ln\left(\frac{x}{r}\right) \quad (18)$$

از ترکیب دو معادله اخیر خواهیم داشت:

$$\varepsilon_\theta = \frac{1}{2} \ln(\sin \alpha) \quad (19)$$

$$\sigma_{eff} = \frac{1}{\sqrt{2}} \sqrt{(\sigma_1 - \sigma_2)^2 + (\sigma_2 - \sigma_3)^2 + (\sigma_3 - \sigma_1)^2} \quad (11)$$

$$\varepsilon_{eff} = \frac{\sqrt{2}}{3} \sqrt{(\varepsilon_1 - \varepsilon_2)^2 + (\varepsilon_2 - \varepsilon_3)^2 + (\varepsilon_3 - \varepsilon_1)^2} \quad (12)$$

با فرض کار سخت ناپذیری ماده $\sigma_{eff} = Y$ که در آن Y تنশ تسليیم در آزمایش تک محوره است، با جایگذاری رابطه مذکور در معادله (۱۰) و انتگرال گیری خواهیم داشت:

$$u = Y\varepsilon_{eff} \quad (13)$$

جهت محاسبه کل انرژی کرنش تغییر شکل (U) لازم است که از معادله اخیر روی حجم ماده (V) انتگرال گیری شود، بنابراین:

$$U = \int u dV \quad (14)$$

برآورد انرژی کرنش تغییر شکل ورق در قالب مخروطی

نخستین بار تارдیف [۱۲] از روش شکل‌دهی انفجاری جهت تولید مخروط از گردههای فلزی استفاده نمود اما کار او در بردارنده یک بررسی دقیق تجربی و یا تحلیلی نبوده است. تنها بررسی نسبتاً جامع تجربی در این

از ترکیب سه معادله اخیر خواهیم داشت:

$$\varepsilon_{eff} = \frac{2}{\sqrt{3}} |\varepsilon_\theta| \quad (24)$$

معادله اخیر با توجه به معادله (۱۹) بصورت زیر در می آید:

$$\varepsilon_{eff} = \frac{1}{\sqrt{3}} \ln \left(\frac{1}{\sin \alpha} \right) \quad (25)$$

از ترکیب معادله اخیر و معادلات (۱۳) و (۱۴) انرژی کرنش مطابق رابطه زیر حاصل می گردد:

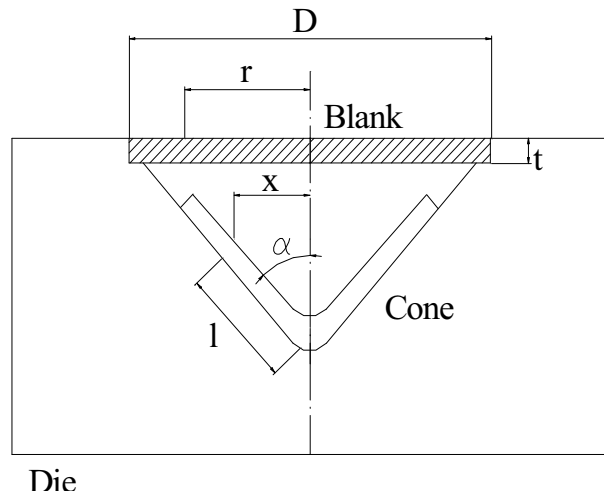
$$U = \frac{\pi D^2 t Y}{4\sqrt{3}} \ln \left(\frac{1}{\sin \alpha} \right) \quad (26)$$

که در معادله اخیر D قطر ورق است.

مقدار خرج لازم برای عملیات شکل دهی انفجاری مخروط

بسیار مهم است که اثر نرخ کرنش بر تنش تسلیم فلز مورد ملاحظه قرار گیرد. در مورد اغلب فلزات نتایج رسمی و معتبر در این خصوص بالاخص در نرخ های کرنش شدید و نزدیک به بارگذاری انفجاری بندرت منتشر شده اند. در مورد فولاد کربن متوسط و مس نسبت تنش تسلیم دینامیکی به استاتیکی (Y/Y_0) معمولاً در حدود ۲ می باشد [۱۴]. در مورد آلومینیم به دلیل عدم در اختیار داشتن داده های معتبر تجربی رابطه ساده ذیل می تواند تخمینی از این نسبت ارائه نماید [۱۴]:

$$\frac{Y}{Y_0} = \left(\frac{\dot{\varepsilon}}{\dot{\varepsilon}_0} \right)^m \quad (27)$$



شکل ۲- شکل دهی انفجاری مخروط

ناشی از اصل ثبات حجم مجموع سه کرنش محیطی، یالی و ضخامتی برابر صفر است، یعنی:

$$\varepsilon_\theta + \varepsilon_l + \varepsilon_t = 0 \quad (20)$$

با توجه به فرض عدم تغییر ضخامت، کرنش ضخامتی برابر صفر است. یعنی:

$$\varepsilon_t = 0 \quad (21)$$

$$\varepsilon_l = -\varepsilon_\theta \quad (22)$$

از ترکیب دو معادله اخیر خواهیم داشت:

کرنش مؤثر برابر است با:

$$\varepsilon_{eff} = \frac{\sqrt{2}}{3} \sqrt{(\varepsilon_\theta - \varepsilon_l)^2 + (\varepsilon_\theta - \varepsilon_T)^2 + (\varepsilon_l - \varepsilon_T)^2} \quad (23)$$

(۲۹) حاصل می شود:

$$W = U/\eta \quad (30)$$

و یا با در نظر گرفتن $\eta = 0.5$:

$$W = 2U \quad (31)$$

موج شوک انفجار به ورق ایمپالسی عمودی اعطا می کند که مقدار آن در معادله (۸) بدست آمد. این ایمپالس عمودی به ورق سرعت عمودی (۷) را می دهد که انرژی جنبشی لازم جهت تغییرشکل ورق را فراهم می سازد. از آنجائیکه در ادامه، هدف یافتن مقدار خروج لازم بر اساس نوعی روش انرژی می باشد و در روش انرژی نیز تنها ابتدا و انتهای تغییرشکل مورد نظر است در نتیجه بطور معقولی می توان در آغاز تغییرشکل سرعت اولیه ورق را در سرتاسر آن ثابت در نظر گرفت یا حتی در غیر اینصورت، متوسط سرعت اولیه را نظر گرفت و محاسبات را ادامه داد. ناشی از این سرعت اولیه انرژی جنبشی لازم جهت انجام کار واقعی تغییرشکل ورق تأمین می شود، یعنی:

$$W = mv^2/2 \quad (32)$$

در نتیجه سرعت مورد نیاز ورق بصورت زیر بدست می آید:

که در معادله فوق، $U = 4$ بترتیب نرخ های کرنش استاتیکی و دینامیکی می باشند. در شرایط استاتیکی نرخ کرنش دارای مرتبه ای در حدود 10^{-3} می باشد [۱۴] در حالیکه تحت شرایط شکل دهنده انفجاری مرتبه نرخ کرنش در حدود 10^7 است [۱۵]. m نیز نمای حساسیت به نرخ کرنش بوده که مقدار آن برای آلومینیم در حدود 0.03 است [۱۶]. بر حسب این مقادیر عددی، نسبت تنش تسلیم استاتیکی به استاتیکی برای آلومینیم در حدود ۲ بدست می آید.

بنابراین با احتساب $Y = 2Y_0$ معادله (۲۶) به معادله زیر بر حسب تنش تسلیم استاتیکی تبدیل می گردد:

$$U = \frac{\pi D^2 t Y_0}{2\sqrt{3}} \ln\left(\frac{1}{\sin \alpha}\right) \quad (28)$$

نکته مهم قابل ملاحظه دیگر در این خصوص این است که کار واقعی لازم برای ایجاد تغییرشکل (W)، علاوه بر انرژی کرنش مشتمل بر انرژی لازم جهت غلبه بر آثار اصطکاک و آثار مرتبط با نیروهای اینرسی نیز می باشد. با الهام از تحلیل موسوم به کاراییده آل مرسوم در برخی فرآیندهای متداول شکل دهنده، جهت غلبه بر این مشکل مفهوم بازده تغییرشکل (η) مورد استفاده قرار می گیرد. بازده بصورت زیر تعریف می شود [۱۶]:

$$\eta = U/W \quad (29)$$

$$v = \sqrt{2W/m} \quad (33)$$

و از اینجا ایمپالس لازم ورق (I_p) بدست می آید:

$$I_p = mv \quad (34)$$

از تساوی ایمپالس لازم ورق با ایمپالس دریافتی (معادله (۸)):

اگر چه در شکل دهنده انفجاری مقدار بازده یقیناً متاثر از پارامترهای شکل دادن نظیر هندسه یا زاویه قالب و ضریب اصطکاک مابین سطوح قالب و ورق می باشد ولی تعیین مقدار دقیق آن مشکل است. مقادیر تجربی بازده در برخی از فرآیندهای رایج شکل دهنده مابین 0.05 تا 0.65 است [۱۶]. در اینجا نیز در غیاب مقادیر دقیق بازده و بدليل شدید بودن نیروهای فشاری ناشی از انفجار و در نتیجه بالا بودن نیروهای اصطکاکی حاصل، مقدار 0.05 برای بازده اختیار می گردد. بر این اساس از معادله

این آزمایشها گرده ورق بر روی یک قالب با حفره مخروطی بدون هیچگونه مهاری قرار گرفته و ماده منفجره نیز در فاصله معینی از آن استقرار می‌باید (شکل ۳)، انفجار ماده منفجره سبب رانده شدن ورق به درون حفره مخروطی قالب شده و شکل مخروط بخود می‌گیرد. جهت افزایش راندمان، تجهیزات در یک مخزن آب قرار گرفته و انفجار در زیر آب صورت می‌پذیرد. سایر مشخصات این آزمایشها به قرار زیر است [۱۷] :

- قالبها مخروطی با نیمزاویه رأس ۴۵، ۳۰ و ۶۰ درجه
- ثوابت ماده منفجره مورد استفاده $B=19.7$ و $F=0.98$ و فاصله استقرار آن ۱۵۰ میلیمتر

- ورقهای فلزی دور از جنس فولاد، آلومینیم و مس بترتیب با استحکام ۲۵۰، ۹۱، ۱۶۹ مگاپاسکال و ابعاد هندسی مندرج در جدول ۱.

$$I_p = I_n \quad (35)$$

جرم ماده منفجره مورد نیاز (M) حاصل می‌گردد:

$$M = \left\{ 2\pi BD^{2-F} \left(\frac{L}{D} \right)^2 \frac{1}{F} \left[\frac{1}{(L/D)^F} - \frac{1}{((L/D)^2 + 1/4)^{F/2}} \right] I_p^{-1} \right\}^{\frac{3}{F+1}}$$

(۳۶)

آزمایش‌های تجربی

تعدادی آزمایش جهت بررسی اعتبار معادله (۳۶) طراحی و انجام شد. در



شکل ۳- چیدمانی اجزاء آزمایش‌های شکل دهنده انفجاری: قالب، گرده ورق، ماده منفجره و مخزن آب [۱۸]

جدول ۱- مقادیر تحلیلی و تجربی جرم ماده منفجره مورد نیاز جهت تولید مخروط [۱۷، ۱۸]

α	(mm) D	T (mm)	ماده	M (gr)	
				تجربی	تحلیلی
فولاد	۱/۶	۱۰۰	۳۰	۳۴/۲	۴۲
فولاد	۱/۶	۱۰۰	۴۵	۲۰/۲	۱۹
فولاد	۱	۸۰	۳۰	۱۶	۲۴
آلومینیم	۱	۸۰	۳۰	۴	۶
آلومینیم	۱	۸۰	۴۵	۲/۴	۳
مس	۱	۸۰	۳۰	۱۳/۳	۹
مس	۱	۸۰	۴۵	۷/۸	۶

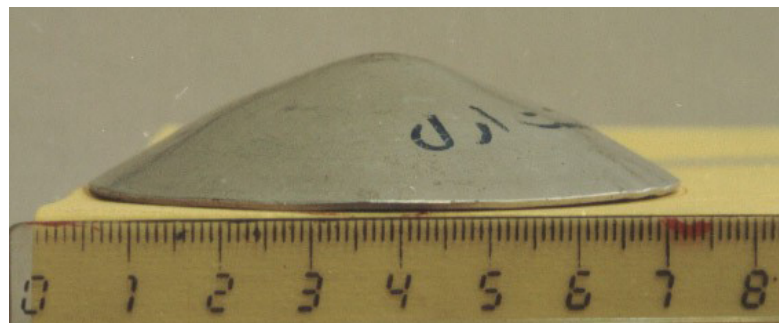
نتایج و بحث

نمونه قطعات حاصل از این آزمایشها در شکل های ۴ تا ۷ نمایش داده شده اند. مقایسه نتایج نظری مستخرج از معادله (۳۷) و نتایج تجربی جرم ماده منفجره مورد نیاز در جدول ۱ ارائه شده اند. در جدول ۲ نتایج نظری این تحقیق با نتایج تجربی مرجع [۱۳] مقایسه شده است.

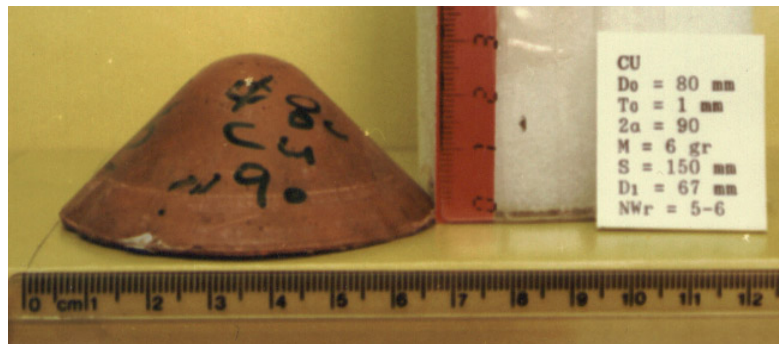
همچنین از نتایج تجربی مرجع [۱۳] نیز جهت مقایسه با نتایج تحلیلی حاصل از این تحقیق استفاده شده است. مواد مورد استفاده جهت ورق های فلزی در این مرجع شامل فولاد و آلومینیم بترتیب با تنש های تسليم ۲۵۰ و ۱۱۵ مگاپاسکال می باشند. سایر شرایط تجربی در تحقیق حاضر و مرجع مذکور مشابه هم می باشند.



شکل ۴- نمونه مخروط با نیمزاویه رأس ۴۵ درجه فولادی شکل یافته انفجاری [۱۷]



شکل ۵- نمونه مخروط با نیمزاویه رأس ۶۰ درجه آلومینیمی شکل یافته انفجاری [۱۷]



شکل ۶- نمونه مخروط با نیمزاویه رأس ۴۵ درجه مسی شکل یافته انفجاری [۱۸]



شکل ۷- نمونه مخروط با نیمزاویه رأس ۳۰ درجه فولادی شکل یافته انفجاری [۱۷]

جدول ۲- مقادیر تحلیلی و تجربی جرم ماده منفجره مورد نیاز جهت تولید مخروط [۱۲]

ماده	T (mm)	(mm) D	α	M (gr)	
				تجربی	تحلیلی
فولاد	۱	۱۰۰	۳۰	۱۶/۸	۱۹
فولاد	۱	۱۰۰	۴۵	۱۰	۱۲/۷
فولاد	۱	۱۰۰	۶۰	۵	۶
فولاد	۱/۶	۱۰۰	۳۰	۳۴/۲	۴۸
فولاد ^۱	۱/۶	۱۰۰	۴۵	۲۰/۲	۱۹
فولاد	۱/۶	۱۰۰	۶۰	۱۰/۴	۹/۵
آلومینیم	۱	۱۰۰	۴۵	۲/۵	۳/۲
آلومینیم	۱	۱۰۰	۶۰	۱/۳	۱/۶
آلومینیم	۱/۶	۱۰۰	۳۰	۸/۵	۶/۵
آلومینیم	۱/۶	۱۰۰	۴۵	۵	۴
آلومینیم	۱/۶	۱۰۰	۶۰	۲/۶	۲/۱

۱ - تکرار این آزمایش تو سط محقق این مقاله منجر به نتیجه یکسانی گردیده است (رجوع به جدول ۱).

رأس ۳۰ درجه بیشتر است. این امر می تواند ناشی از تغییرشکل ناپایدار ورق و در نتیجه انحراف فرآیند تغییرشکل از مدل پایدار ارایه شده در این مقاله باشد. کوچک بودن زاویه مخروط در این حالت منجر به تحمیل تنش های محیطی شدید به ورق در جریان تغییرشکل می شود که خود منجر به کمانش پلاستیک موسوم به چروکیدگی^۱ در قسمتهایی از مخروط می شود. این پدیده در شکل ۷ مشاهده می شود.

نتیجه گیری

مدل تحلیلی ارایه شده در این مقاله که بر اساس دو فرض ثابت ماندن ضخامت ورق و عدم کارسختی ماده بنا شده است و همچنین آثار اصطکاک، اینرسی و تغییر خواص مکانیکی ماده در آن با لحاظ برخی

1- wrinkling

در شکل دهی انجاری معمولاً تغییرشکل های پلاستیکی بزرگ همراه با نرخ های کرنش شدید بوقوع می پیوندد. فیزیک فرآیند در گیر پدیده هایی نظیر انجار خروج و انتقال موج حاصل از آن در آب، اندرکنش مایع / جامد هنگام رسیدن موج به ورق، اندرکنش جامد / جامد ناشی از ملاحظات ضربه ای و آثار اصطکاک در هنگام تغییرشکل سریع ورق در قالب، آثار اینرسی، شیمی ماده منفجره و بالاخره تغییرات خواص مکانیکی فلز در نرخ های کرنش بالاست. مدل های تحلیلی دقیقی که جامع تمام پدیده های مذکور باشند، در حال حاضر موجود نمی باشند. در برخی موارد می توان با لحاظ برخی فرض ها، بستر لازم را جهت ارایه روش های تحلیلی مهیا نمود. اعمال این فرض ها طبعاً از جامعیت و کامل بودن مدل تحلیلی کاسته و منجر به بروز اختلاف بین نتایج تحلیلی و تجربی می گردد. این اختلاف البته در حد معقول آن در نتایج این تحقیق نیز مشاهده می شود. اختلاف بین نتایج تحلیلی و تجربی در نیمزاویه

- علوم مهندسی، شماره چهارم- جلد دوازدهم، زمستان ۱۳۸۰، ص ۱-۲۴.
- ۸- جواب ور، داریوش، مکانیک انتقال انرژی و تغییر شکل ورق مدور در عملیات شکل دهنده انفجاری استقرار خرچ در فاصله، اولین کنگره بین المللی (هفتمین کنگره ملی) مهندسی ساخت و تولید ایران، دانشگاه تربیت مدرس، آذر ۱۳۸۴.
- ۹- لیاقت، غلامحسین - جواب ور، داریوش، شکل دهنده مخروط ها به روش انفجاری، ششمین کنفرانس سالانه مهندسی مکانیک و سومین کنفرانس بین المللی مهندسی مکانیک انجمن مهندسان مکانیک ایران، دانشگاه علم و صنعت ایران، دانشکده مهندسی مکانیک، ص ۱۵۰۷-۱۵۱۴، ۱۵۰۷-۳۰ اردیبهشت ۱۳۷۷.
- ۱۰- لیاقت، غلامحسین - جواب ور، داریوش، ارائه مدل تغییر شکل پایدار ورق جهت تحلیل شکل دهنده انفجاری، هفتمین کنفرانس سالانه مهندسی مکانیک انجمن مهندسان مکانیک ایران، دانشگاه سیستان و بلوچستان، دانشکده مهندسی شهید نیکبخت، ۱۳۷۸.
- 11- Ezra, A.A., Principles and Practice of Explosive Metalworking, Publ. by Industrial Newspaper Ltd., PP. 32-33, 43-45, (1973).
- 12- Tardif, H.P., Explosive Forming of Cones by Metal Gathering, Metal Progress, Vol. 76, No. 3, P. 84, (Sep. 1959).
- 13- Travis, F.W., Johnson, W., The Explosive Forming of Cones, Proc. 3rd International Machine Tool Design Research Conference, Birmingham, PP. 341 - 364, (1962).
- 14- Johnson, W., Impact Strength of Materials, Publ. by Edward Arnold Ltd., London, PP. 132-135, (1972).
- 15- Mayers, M.A., Dynamic Behavior of Materials, John Wiley & Sons Inc., P. 299, (1994).
- 16- Hosford, W.F., Caddell, R.M., Metal Forming: Mechanics & Metallurgy, Publ. by Prentice-Hall, Inc., Englewood Cliffs, PP. 83, 106-107, (1983).
- ۱۷- لیاقت، غ.، جواب ور، د.، گزارش آزمایش های تجربی شکل دهنده انفجاری مخروط، صنایع شهید باقری، (۱۳۷۶).
- ۱۸- لیاقت، غ.، جواب ور، د.، گزارش آزمایش های تجربی شکل دهنده انفجاری مخروط، صنایع مهمات سازی، (۱۳۷۸-۷۹).

ضرایب ثابت معادل سازی شده اند، به گواه یافته های تجربی این تحقیق و دیگر محققین، منجر به نتایج قابل قبولی در پیش بینی میزان ماده منفجره لازم در عملیات موسوم به شکل دادن انفجاری مخروط شده است. اگرچه مسلماً قضاوت نهایی در این خصوص نیازمند پژوهش های تجربی فروتنر در آینده است.

مراجع

- جواب ور، د.، لیاقت، غ.، مبانی شکل دهنده انفجاری، سازمان هواشناسی، معاونت آموزش، پژوهش و فناوری، ص ص. ۴۱، ۴۲، ۴۲، ۴۴، (۱۳۸۳).
- 3rd. International Conference on Mechanical and Physical Behavior of Materials under Dynamic Loading (DYMAT 91), Strasbourg, France, (14-18 Oct. 1991).
- جواب ور، داریوش- لیاقت، غلامحسین- درویزه، ابوالفضل- عبدالله، امیر، بررسی تحلیلی، تجربی و عددی پروفیل سرعت و جابجایی عمودی، فشار مورد نیاز و ابعاد محصول در فرایند شکل دهنده انفجاری مخروط، نشریه دانشکده فنی دانشگاه تهران، جلد ۳۷، شماره ۱، خداداد ماه ۱۳۸۲، ص ۹۷-۱۱۲.
- جواب ور، داریوش- لیاقت، غلامحسین- درویزه، ابوالفضل- عبدالله، امیر، بررسی تحلیلی، تجربی و عددی پروفیل کرنش و جرم ماده منفجره مورد نیاز در شکل دهنده انفجاری مخروط، نشریه علمی- پژوهشی امیرکبیر، سال چهاردهم / شماره ب- ۵۲ / تابستان ۱۳۸۲، ص ۷۶۵-۷۷۹.
- لیاقت، غلامحسین- درویزه، ابوالفضل- عبدالله، امیر- جواب ور، داریوش، اثر ورق گیر در کنترل چروکیدگی مخروط و بررسی تحلیلی و تجربی آن در شکل دهنده انفجاری، نشریه علمی- پژوهشی امیرکبیر، سال سیزدهم / شماره ۵۲ / پاییز ۱۳۸۱، ص ۵۹۰-۵۸۰.
- لیاقت، غلامحسین- درویزه، ابوالفضل- عبدالله، امیر- جواب ور، داریوش، تحلیل فرایند شکل دهنده انفجاری مخروط، مقایسه با نتایج تجربی و شبیه سازی اجزاء محدود، نشریه علمی- پژوهشی امیرکبیر، سال سیزدهم / شماره ۵۰ / بهار ۱۳۸۱، ص ۲۶۴-۲۵۰.
- لیاقت، غلامحسین- درویزه، ابوالفضل- عبدالله، امیر- جواب ور، داریوش، تحلیل پدیده چروکیدگی در شکل دهنده انفجاری مخروط و مقایسه با نتایج تجربی، دانشگاه علم صنعت ایران، مجله بین المللی